

III-27 不飽和粘性土の力学的性質についての一考察

早稲田大学理工学部 正員 綿引憲一

I. はじめに

従来、不飽和粘性土に対する研究は、比較的少ないのである。これは、飽和粘性土に比較して、土が空気をも含む三相系であるために多くの困難さが発生するためであろう。例をあげれば、間げき流体相の圧力測定において、液体相と気体相の圧力を、別個に、正しく測定する事は、その土の飽和度により程度は異なっても、非常に難しい問題である。これに関しては、間げき左体圧 u_a と間げき液体圧 u_w を求めて、不飽和粘性土に対しても、有効応力の考え方を適用しうるという、Bishop 等の考え方が正しい方向を示しているとしても、 u_a , u_w を正しく求める事が現実に問題なのである。この間げき圧は、体積変化と密接なる関係を持っている。この事から、体積変化の方向から、不飽和粘性土の性質を明らかにしていく事の可能性がある。筆者は、従来、三軸試験により、体積一定試験、体積変化(側圧一定)試験を行なってきたが、セン断面上での応力ヒズミ関係を明確につかむ事が困難である為、今回は、改良型一面セン断試験機(土質試験法に記されている型)を用いて不飽和粘性土の等圧試験、等体積試験を行った。

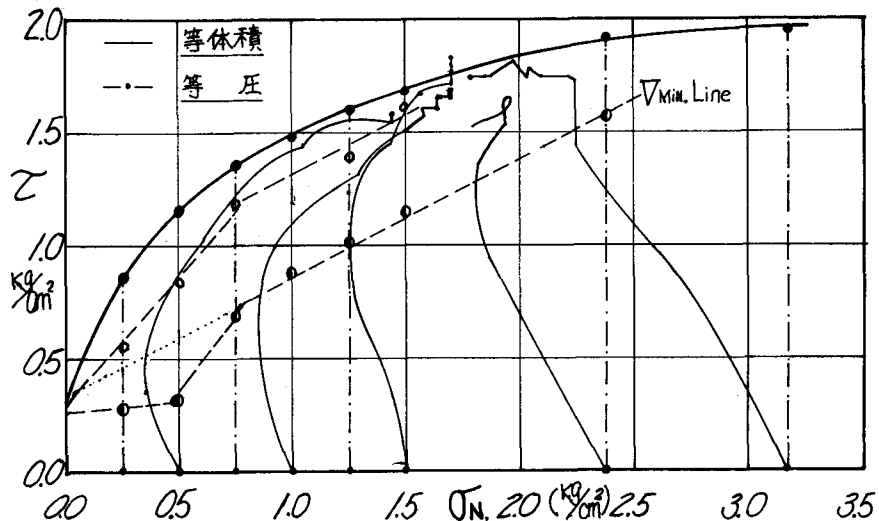
II. 供試体

カオリン粘土を定めた含水比にし、 2mm のフリイを追加させた後、 $D=6\text{cm}$, $H=2\text{cm}$ のリング中に静的圧縮により成型し、24時間養生する。供試体の諸性質は次のようである。含水比 $W=23.5 \pm 0.2\%$ 、間げき比 $C = 0.82 \pm 0.02$ 、飽和度 $S_r = 80 \pm 3\%$ 。^{(1)~(3)} なお、カオリン粘土の諸性質は、以前に発表したものと同じである。又、締固め圧力は、 12kg/cm^2 であり、締固め時間は、約10分間である。この供試体の有効先行圧密荷重(不飽和であるから、圧密という用語は、不適当であるが、便宜的に用いた)は、 3.4kg/cm^2 であった。これは、圧密試験結果より求めたものである。

以上の値は

従来、筆者が三軸試験用の $D=3.5\text{cm}$ $H=7\text{cm}$ の供試体を作成した時と同じである。この際、締固め圧力は、一定重量の試料を定めた体積にする

■ - 1



ために必要な力であり、これが、三軸用および一面セン断用のように形状の異なる場合も等しいという事は、両供試体の他の物理的値が同じである事も考えると、構造の同一性、類似性を暗示しているようと思える。載荷速度は、 0.5 mm/min である。 σ_N は、 $0.25 \text{ kg/cm}^2 \sim 3.17 \text{ kg/cm}^2$ の 8 種類である。

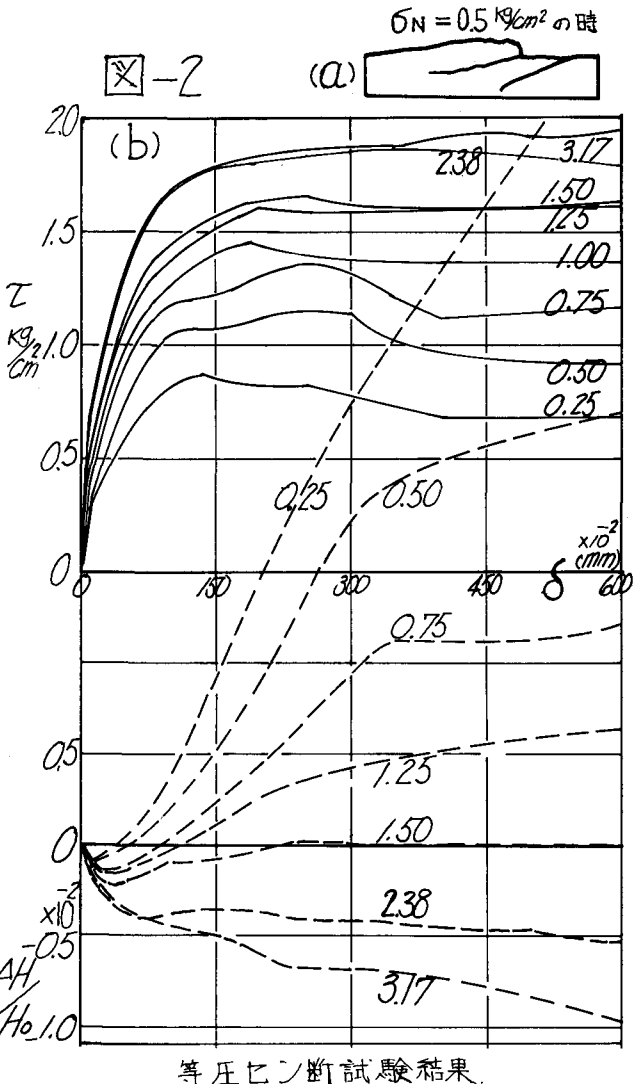
III. 実験結果.

前頁に示した図-1 は、等圧試験、
a) 等体積試験の σ_N (垂直圧) — τ (せん断力)
b) を示したものである。試験に用いた σ_N
が、先行圧密荷重よりも小さい為、いずれも、過圧密試料となり、等体積試験
に、その形状は明らかである。

さて、 $\sigma_N = 0$ における τ は、図-1 において、約 0.3 kg/cm^2 である。同図中に示す、破線 $-0-$ は、図-2 において、体積が初期の値に戻った時の τ で、 $-0-$ は、図-2 における体積最小时の τ を示している。両線ともに、 $\sigma_N = 0$ の時の τ の値として、約 0.3 kg/cm^2 を示している。この事は、 $\sigma_N = 0$ の試験を行えば、体積がただちに膨張を始める事を意味している。筆者が行った三軸試験においては、上記の様な事はみられない上、一軸試験においても体積は、載荷初期には収縮する。この事は、一面セン断試験により強制され、発生するすべり面上の σ_N (垂直変位) と、三軸セン断試験において発生するすべり面上の σ_N の相違もしくは、すべり面の発生の機構の相違を意味するものと思われる。

次に、等体積試験に関しては、圧密完了後であれば、有効応力のベクトル・カーブを得られる事になるわけだが、本実験のように、過圧密試料を取扱っている場合には、 σ_N による再圧密には、長い時間を必要とする事はないと思われるのだが、一応、等圧セン断と同様の応力(全応力的)として取扱う。

- (a) 等圧セン断試験; $\cdots \cdots \bullet$ で示した。 \bullet は、最大の τ を示す。 $\tau_N; 0.5, 1.0, 1.5$ は、 \bullet のみ記した。
- (b) 等体積セン断試験; $\cdots \cdots$ で示した。
- (c) 図-2; $\cdots \cdots$ は、 $\tau - \delta$, $\cdots \cdots$ は、 $(\Delta H/H_0) - \delta$ を示す。図中の値は σ_N を示す。



等圧セン断試験結果

この等体積試験の結果より、①初期 σ_N にかかわりなく、最終的には、 $\sigma_N = 1.0$ の付近へ集中してくる。(図-3 参照)。②等圧試験の σ_{MIN} Line 上に $\sigma_N MIN$ の点がある。①に同じくは、わからぬ点多いが、ダイレイタンシーがない時は、先行圧密荷重のほぼ $1/2$ であるといふ事と関連があろう。②に同じくは、従来筆者が行った三軸の結果では、 σ_{MIN} と $\sigma_3 MIN$ は一致しなかつたが、せん断面上での取扱い(一面せん断)と、全體ととの取扱い(三軸試験との相違があろう。

次に、セン断面の状態については、図-2 および図-3 に示した。図-2(a)は、 $\sigma_N = 0.5 \text{ kg/cm}^2$ の等圧せん断のすべり面であるが、まず、すべり面に強制された水平すべり面は、体積が大きく膨張した事からもうかがえる様に、ランダムな形状を示している。一方、図-3 中に示した、初期 $\sigma_N = 0.5 \text{ kg/cm}^2$ の等体積せん断のすべり面は、強制された面で、ほぼ水平に起つている。さらに、本実験に用いた供試体は、前述の物理的諸性質からも推察できるように、相当ブリトルな性質を持っている。この結果、主すべり面以外に、斜め方向にクラックを生じている。このクラックの角度から推定する内部マツツ角は、等圧試験 27° 、等体積試験 30° であり、これらの値は、以前に報告した三軸試験より求めた値と一致する。

両試験とともに、クラックは数本入っているが、等体積試験の場合には、平行になり、等圧試験の場合には、平行とはならぬ。これも妥当な結果である。何故ならば、等圧試験の場合、2本目のクラックは、体積が相当膨張してからのものであるから、内部マツツ角が変化している事は、充分考えられる。さらに、 $\sigma_N = 1.0 \text{ kg/cm}^2$ 以上では、クラックは、一本しか入らなかったが、この事は、この変化からもうかがえる。

図-4について；図-4 は、等体積せん断に同じく、 $\sigma_N - \delta$ 曲線を示したものである。図中に○、○があるが、○印は、図-3 において、 σ_N が一定の安定した値を示し始めた位置(δ)を示し、

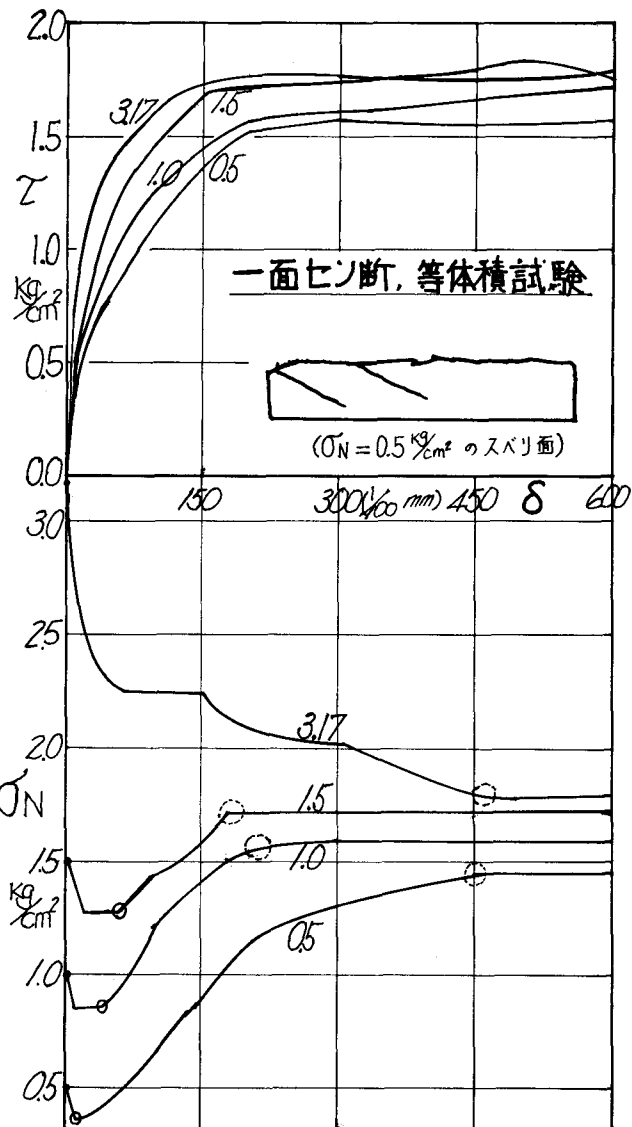


図-3 $Z-\delta$, $\sigma_N-\delta$ 関係

O印は、同じく図-3にあります。 σ_N が増大しはじめる時の位置に対応している。これからみると、 σ_N が0.5, 1.0, 1.5 kg/cm^2 の場合には、O印は再び増大するので、O印を持つが、 $\sigma_N = 3.17 \text{ kg/cm}^2$ の場合には、O印は減少のみであるからO印を持たない。

図-4中に示されたO印は、 σ_N の値にかかわりなく、 $\delta/\sigma_N = 1.0$ の点であり、△印は、 $\sigma_N = 3.17 \text{ kg/cm}^2$ でははじめで δ/σ_N が1.0になつた時であり、他の σ_N の場合には、 δ/σ_N が再び1.0になる時である。この事は、 σ_N の変化は、等圧変化における体積の変化と非常に深い関係を持つ事から

体積の挙動と密接につながっていると考えられる。三軸の場合には、主応力の和の形で示される上と、偏差成分 δ の比 δ/σ に関する結果が、体積変化の特別な点 (V_{MIN} 点や、体積が初期体積にどちらか) と良い対応を示す事が示されていました。³⁾ この一面せん断においても同様の結果が得られる(と想われる)。また、 δ/σ_N は、△印以後、ほぼ1.0の値をとり、この傾向は、 σ_N の初期値にはよらない。この△印が対応する δ における土は、供試体は、すぐに強制すべり面で分離していふと思われる。この結果、 $\delta/\sigma_N = 1.0$ の値は、この面におけるすべり抵抗を示しているとも考えられる。

IV. 結語

従来、不飽和土のデータが少ない為、データ整理の方法も確立しませんようである。今回は、 δ/σ_N という、非常に単純な考え方で整理をしたのであるが、 σ_N の変化との関係が、新たに見出せた。又、 $\delta-\sigma_N$ 図において、 V_{MIN} Lineや、体積が初期体積にどちらか点等の間に、一定の関係のある事がわかった。最後になったが、等圧、等体積試験とともに、破壊後に σ_N を0にした時に、残留しているのである。この値は、前述の等圧せん断の破壊包絡線が $\sigma_N=0$ 軸と交わる点であり、同時に、 V_{MIN} Line等のもつ、 $\sigma_N=0$ 軸の切片である。この値が、その土の持つ本質的な強度であるとも考えられる。なお、この実験を行つてあたつゝは、(株)佐藤工業土壤技術研究所における実験の便宜をいたしました。ここに記して感謝するものとす。

1) 第5回国土質工学研究発表会「等体積試験による粘性土に対する一考察」後藤、鶴子。

2) 第25回年次学術講演会「エネルギー的立場よりの粘性土の性質」後藤、鶴子。

3) 第6回国土質工学研究発表会「不飽和粘性土の力学的性状について」鶴子。